

① Equation cinétique pour l'opérateur densité de la particule.a) Equation de Fokker-Planck pour la fonction de Wigner $w(x,p)$ Forme de l'équation

Nous démontrerons dans un chapitre ultérieur que la fonction de Wigner $w(x,p)$ (à 1 dimension) d'une particule P , de masse M , subissant des collisions avec des particules beaucoup plus légères qu'elle, satisfait à l'équation aux dérivées partielles linéaire du 2^{im} ordre

$$\left[\frac{\partial}{\partial t} + \frac{p}{M} \frac{\partial}{\partial x} - \gamma \frac{\partial}{\partial p} p \right] w(x,p,t) = D \frac{\partial^2}{\partial p^2} w(x,p,t) \quad (6.1)$$

L'équation (6.1) est une équation de Fokker-Planck

Interprétation des coefficients γ et D

- Pour interpréter les coefficients γ et D apparaissant dans (6.1), il est utile de calculer à partir de (6.1) la vitesse de variation de quelques valeurs moyennes. Par exemple, multiplions les 2 membres de (6.1) par p et intégrons sur x et p . Le terme en $\partial/\partial t$ donne $\partial \langle p \rangle / \partial t$ où

$$\langle p \rangle = \int_{-\infty}^{+\infty} dx \int_{-\infty}^{+\infty} dp p w(x,p,t) \quad (6.2)$$

est la valeur moyenne de p . Le terme en $\partial/\partial x$ donne une contribution nulle lors de l'intégrale sur x si l'on suppose que $w(x,p,t) \rightarrow 0$ si $|x| \rightarrow \infty$. Le terme en $\partial/\partial p$ donne $-\gamma \langle p \rangle$ après une intégration par parties sur p et compte tenu du fait que $p w(x,p,t) \rightarrow 0$ si $|p| \rightarrow \infty$. Enfin le terme en $\partial^2/\partial p^2$ donne 0 après une intégration par parties sur p et compte tenu du fait que $\partial w/\partial p \rightarrow 0$ si $|p| \rightarrow \infty$. Finalement, on obtient

$$\frac{d}{dt} \langle p \rangle = -\gamma \langle p \rangle \quad (6.3)$$

ce qui montre que γ est un coefficient de friction, décrivant la vitesse d'amortissement de l'impulsion.

- Des calculs analogues faits après multiplication des 2 membres de (6.1) par p^2 et intégration sur x et p donnent

$$\frac{d}{dt} \langle p^2 \rangle = -2\gamma \langle p^2 \rangle + 2D \quad (6.4)$$

où

$$\langle p^2 \rangle = \iint dx dp p^2 w(x,p,t) \quad (6.5)$$

Le 1^{er} terme de (6.4), $2\gamma \langle p^2 \rangle$, décrit l'amortissement de $\langle p^2 \rangle$ dû à la friction. Le second, $2D$, décrit un accroissement à vitesse constante de $\langle p^2 \rangle$ et fait apparaître le coefficient D comme un coefficient de diffusion de l'impulsion.

Théorème fluctuation-dissipation.

L'équation (6.4) montre que $\langle p^2 \rangle$ tend avec une constante de temps $(2\gamma)^{-1}$ vers la valeur d'équilibre :

$$\langle p^2 \rangle_{eq} = \frac{D}{\gamma}$$

Si le "réservoir" de particules légères avec lesquelles la particule étudiée P subit des collisions est en équilibre thermodynamique à la température T , on s'attend à ce que la particule P atteigne elle-même un équilibre à la même température, de sorte que

$$\frac{\langle p^2 \rangle_{eq}}{2M} = \frac{1}{2} k_B T \quad (6.7)$$

En éliminant $\langle p^2 \rangle_{eq}$ entre (6.6) et (6.7), on obtient une relation entre D et γ

$$D = M \gamma k_B T \quad (6.8)$$

(Une telle relation a été établie directement sur un modèle simple à 3 dimensions dans le cours IV - voir (4.42)).

Equations de Fokker-Planck pour la distribution de probabilité $\mathcal{P}(p)$ de l'impulsion.

Intégrons sur x les 2 membres de (6.1). Le terme en $\partial/\partial x$ disparaît. On obtient alors pour la distribution de probabilité de l'impulsion

$$\mathcal{P}(p) = \int_{-\infty}^{+\infty} dx w(x, p, t) \quad (6.9)$$

l'équation d'évolution

$$\left(\frac{\partial}{\partial t} - \gamma \frac{\partial}{\partial p} p \right) \mathcal{P}(p, t) = D \frac{\partial^2}{\partial p^2} \mathcal{P}(p, t) \quad (6.10)$$

qui est également une équation de Fokker-Planck.

Notons qu'il n'est pas possible d'obtenir de la même manière une équation du mouvement pour la distribution de probabilité $R(x)$ de la position.

b) Equation du mouvement de la fonction caractéristique $C(u, v)$

- En utilisant les formules (5.44) du cours V, on déduit immédiatement de (6.1) l'équation du mouvement suivante pour la fonction caractéristique $C(u, v)$:

$$\left[\frac{\partial}{\partial t} - \frac{1}{M} v \frac{\partial}{\partial u} + \gamma u \frac{\partial}{\partial u} \right] C(u, v, t) = - \frac{D}{\hbar^2} u^2 C(u, v, t) \quad (6.11)$$

On obtient ici une équation aux dérivées partielles linéaire, du 1^{er} ordre, et non pas du 2^{ème} ordre comme (6.1) (Il n'apparaît pas de termes en $\partial^2/\partial u^2$, $\partial^2/\partial v^2$, $\partial^2/\partial u \partial v$)

Il est facile de vérifier que toutes les autres représentations de l'opérateur densité $F(x, u)$, $G(p, v)$ introduites dans le cours V obéissent, comme $w(x, p)$, à des équations aux dérivées partielles du 2^{ème} ordre. La représentation $C(u, v)$ est donc la plus commode si l'on veut résoudre l'équation du mouvement

- Faisons $v=0$ dans (6.11). On obtient l'équation du mouvement

de la cohérence spatiale globale à une distance u ,
 $F(u) = C(u, v=0)$ (voir formule (5.55) du cours V)

$$\left[\frac{\partial}{\partial t} + \gamma u \frac{\partial}{\partial u} \right] F(u, t) = - \frac{D}{\hbar^2} u^2 F(u, t) \quad (6.12)$$

L'équation (6.12) n'est autre que la transformée de Fourier par rapport à p de l'équation (6.10).

Notons enfin que la présence de la dérivée $\partial/\partial u$ dans (6.11) interdit d'obtenir de manière aussi simple une équation du mouvement pour $G(v) = C(u=0, v)$.

② Résolution d'une équation aux dérivées partielles linéaire du 1^{er} ordre par la méthode des caractéristiques

a) Equation homogène

Problème : Trouver la fonction $C(u, t)$ de 2 variables réelles t et u , solution de l'équation

$$\frac{\partial}{\partial t} C(u, t) + a(u, t) \frac{\partial}{\partial u} C(u, t) = 0 \quad (6.13)$$

où $a(u, t)$ est une fonction donnée de u et t

Courbes caractéristiques

- En chaque point (t, u) , considérons le vecteur \vec{V} de composantes 1 sur l'axe t , $a(u, t)$ sur l'axe u . Si l'on introduit $\vec{\nabla} = (\partial/\partial t, \partial/\partial u)$, l'équation (6.13) s'écrit

$$\vec{V} \cdot \vec{\nabla} C(u, t) = 0 \quad (6.14)$$

et exprime que $C(u, t)$ ne varie pas quand on se déplace dans la direction \vec{V} autour du point (t, u)

- Considérons alors le réseau de courbes tangentes en chaque point $\left\{ \begin{matrix} t \\ u \end{matrix} \right\}$ au vecteur $\vec{V} \left\{ \begin{matrix} 1 \\ a(u, t) \end{matrix} \right\}$ défini en ce point. Ces courbes sont appelées "courbes caractéristiques". Les fonctions $C(u, t)$, solutions de (6.13), gardent la même valeur sur tous les points d'une même courbe caractéristique

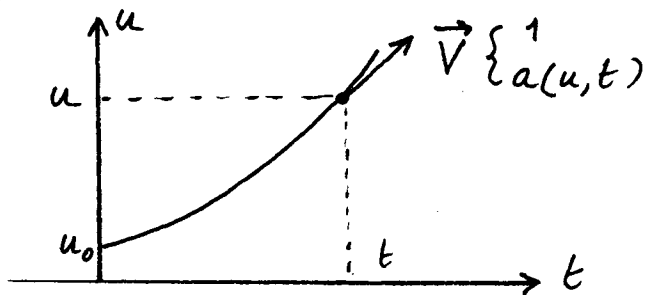


Fig. 1

- Les courbes caractéristiques sont décrites par des fonctions $u(t)$ de t , solutions de l'équation différentielle

$$\frac{d}{dt} u(t) = a(t, u(t)) \quad (6.15)$$

Elles forment une famille de courbes à 1 paramètre u_0

$$u(t) = f(t, u_0) \tag{6.16}$$

Ce paramètre u_0 peut être par exemple l'ordonnée du point d'intersection de la courbe caractéristique considéré avec l'axe des u ($t=0$) - voir la figure 1 - la fonction $f(t, u_0)$ introduite en (6.16) est donc la solution de l'équation différentielle (6.15) correspondant à la condition initiale $u(0) = u_0$.

L'équation (6.16) peut d'ailleurs être inversé et u_0 exprimé en fonction de u et t

$$u_0 = g(u, t) \tag{6.17}$$

L'équation (6.17) donne l'ordonnée de l'intersection avec l'axe des u ($t=0$), de la courbe caractéristique qui passe par le point t, u du plan.

Solution de l'équation aux dérivées partielles

- L'équation (6.14), équivalente à (6.13), exprime que $C(u, t)$ ne varie pas quand on se déplace le long d'une courbe caractéristique et garde donc la même valeur que celle prise au point u_0 où la courbe caractéristique coupe l'axe $t=0$.

- Soit alors $C_0(u_0)$ la fonction de u_0 donnant la valeur initiale de $C(u, t)$ en $t=0$. La solution de (6.13) correspondant à cette condition initiale s'écrit

$$C(u, t) = C_0(g(u, t)) \tag{6.18}$$

Considérons en effet un point quelconque de coordonnées t, u . Ce point est sur une courbe caractéristique coupant l'axe des t en un point d'ordonnée u_0 donnée par (6.17). Comme $C(u, t)$ a la même valeur en tous les points d'une courbe caractéristique, on doit avoir $C(u, t) = C_0(u_0)$ où u_0 est relié à u et t par (6.17), d'où l'équation (6.18)

Généralisation à des fonctions de plus de 2 variable

- Considérons par exemple l'équation

$$\frac{\partial}{\partial t} C(u, v, t) + a_1(u, v, t) \frac{\partial}{\partial u} C(u, v, t) + a_2(u, v, t) \frac{\partial}{\partial v} C(u, v, t) = 0 \tag{6.19}$$

- Les courbes caractéristiques sont les courbes tangentes en chaque point $\{t, u, v\}$ au vecteur de coordonnées $\{1, a_1(u, v, t), a_2(u, v, t)\}$. Elles sont définies par des fonctions $u(t), v(t)$, solutions d'équations différentielles couplées

$$\left\{ \begin{aligned} \frac{d}{dt} u(t) &= a_1(t, u(t), v(t)) \end{aligned} \right. \tag{6.20.a}$$

$$\left\{ \begin{aligned} \frac{d}{dt} v(t) &= a_2(t, u(t), v(t)) \end{aligned} \right. \tag{6.20.b}$$

Elles forment une famille de courbes à 2 paramètres u_0, v_0

$$\left\{ \begin{aligned} u(t) &= f_1(t, u_0, v_0) \end{aligned} \right. \tag{6.21.a}$$

$$\left\{ \begin{aligned} v(t) &= f_2(t, u_0, v_0) \end{aligned} \right. \tag{6.21.b}$$

u_0 et v_0 étant par exemple les valeurs de $u(t)$ et $v(t)$ en $t=0$.
L'inversion de (6.21) fournit les équations

$$\begin{cases} u_0 = g_1(t, u, v) \\ v_0 = g_2(t, u, v) \end{cases} \quad \begin{matrix} (6.22.a) \\ (6.22.b) \end{matrix}$$

donnant les coordonnées u_0, v_0 de l'intersection avec le plan $t=0$ de la courbe caractéristique passant par le point de coordonnées $\{t, u, v\}$.

- L'équation (6.19) exprime que $C(u, v, t)$ garde la même valeur en tous les points d'une courbe caractéristique. Soit $C_0(u_0, v_0)$ la valeur initiale de $C(u, v, t)$ pour $t=0$. Le même raisonnement que celui fait après (6.18) montre que la solution de (6.19) correspondant à cette condition initiale s'écrit

$$C(u, v, t) = C_0(g_1(u, v, t), g_2(u, v, t)) \quad (6.23)$$

b) Equation inhomogène

- On ajoute maintenant à (6.13) un second membre, linéaire en $C(u, t)$

$$\frac{\partial}{\partial t} C(u, t) + a(u, t) \frac{\partial}{\partial u} C(u, t) = b(u, t) C(u, t) \quad (6.24)$$

où $b(u, t)$ est, comme $a(u, t)$, une fonction donnée de u et t

- Considérons l'une des courbes caractéristiques $u(t) = f(t, u_0)$ introduites dans le paragraphe précédent pour l'équation homogène, et déplaçons nous le long de cette courbe.

Le membre de gauche de (6.24) donne la vitesse de variation de $C(f(t, u_0), t)$ quand on passe de t à $t+dt$. A cause du membre de droite de (6.24), cette vitesse de variation n'est plus nulle, comme dans le paragraphe précédent, mais égale à $b(f(t, u_0), t) C(f(t, u_0), t)$:

$$\frac{d}{dt} C(f(t, u_0), t) = b(f(t, u_0), t) C(f(t, u_0), t) \quad (6.25)$$

C varie donc maintenant le long d'une courbe caractéristique, d'une manière décrite par l'équation différentielle (6.25). Cette équation s'intègre sans difficulté

$$C(f(t, u_0), t) = C_0(u_0) \exp \left\{ \int_0^t dt' b(f(t', u_0), t') \right\} \quad (6.26)$$

où $C_0(u_0)$ est la valeur de C au point d'ordonnée u_0 où la courbe caractéristique coupe l'axe $t=0$. Nous poserons

$$E(t, u_0) = \exp \left\{ \int_0^t dt' b(f(t', u_0), t') \right\} \quad (6.27)$$

Connaissant la fonction $b(u, t)$ et la solution (6.16) de l'équation différentielle (6.15) donnant les courbes caractéristiques, $E(t, u_0)$ s'obtient par une simple intégration

Ainsi, la présence d'un second membre dans (6.24) entraîne que

sur la courbe caractéristique passant en u_0 pour $t=0$, la fonction C au point $\{t, u\}$ n'est plus égale à $C_0(u_0)$, mais à $C_0(u_0)$ que multiplié un nombre $E(t, u_0)$ dépendant de t et u_0 .

- On en déduit la solution de l'équation (6.24) correspondant à la condition initiale $C_0(u_0)$ en $t=0$

Plaçons nous en un point $\{t, u\}$. La caractéristique passant par ce point coupe l'axe $t=0$ en $u_0 = g(u, t)$ (voir (6.17)). D'après (6.26) et (6.27), la valeur de C en $\{t, u\}$ est égale à $C_0(u_0) E(t, u_0)$ où $u_0 = g(u, t)$. On a donc

$$C(u, t) = C_0(g(u, t)) E(t, g(u, t)) \quad (6.28)$$

- La généralisation à plus de 2 variables ne présente pas de difficulté.

Il faut remplacer, au 2^{ème} membre de (6.19), 0 par $b(u, v, t)C(u, v, t)$. L'équation différentielle (6.25) devient

$$\frac{d}{dt} C(f_1(t, u_0, v_0), f_2(t, u_0, v_0), t) = \quad (6.29)$$

$$= b(f_1(t, u_0, v_0), f_2(t, u_0, v_0), t) C(f_1(t, u_0, v_0), f_2(t, u_0, v_0), t)$$

et sa solution s'écrit

$$C(f_1(t, u_0, v_0), f_2(t, u_0, v_0), t) = C_0(u_0, v_0) E(t, u_0, v_0) \quad (6.30)$$

où $C_0(u_0, v_0)$ est la valeur initiale de C en $t=0$ et où

$$E(t, u_0, v_0) = \exp \left\{ \int_0^t dt' b(f_1(t', u_0, v_0), f_2(t', u_0, v_0), t') \right\} \quad (6.31)$$

Finalement, la solution de l'équation aux dérivées partielles avec 2^{ème} membre, correspondant à la condition initiale $C_0(u_0, v_0)$ en $t=0$, s'écrit

$$C(u, v, t) = C_0(g_1(u, v, t), g_2(u, v, t)) E(t, g_1(u, v, t), g_2(u, v, t)) \quad (6.32)$$

③ Première application : évolution temporelle de la cohérence spatiale globale à une distance u , $F(u, t)$

a) Solution de l'équation du mouvement de $F(u, t)$

- L'équation (6.12) est une équation aux dérivées partielles linéaire, inhomogène, à 2 variables u et t , du 1^{er} ordre.

- L'équation différentielle (6.15) définissant les courbes caractéristiques s'écrit ici

$$\frac{d}{dt} u(t) = \gamma u(t) \quad (6.33)$$

et a pour solution

$$u(t) = u_0 e^{\gamma t} \quad (6.34)$$

u_0 étant la valeur de $u(t)$ en $t=0$. L'inversion de (6.34) donne

$$u_0 = u e^{-\gamma t} \quad (6.35)$$

c'est à dire la valeur de u_0 pour la courbe caractéristique passant par le point $\{t, u\}$

- La fonction multipliant $\mathcal{F}(u, t)$ au 2^{ème} membre de (6.12) est $\frac{|V|-7}{(6.36)}$

$$b(u, t) = -\frac{D}{\hbar^2} u^2 \quad (6.36)$$

On a donc le long d'une courbe caractéristique (6.34)

$$b(u(t), t) = -\frac{D}{\hbar^2} u^2(t) = -\frac{D u_0^2}{\hbar^2} e^{2\gamma t} \quad (6.37)$$

On en déduit pour la fonction $E(t, u_0)$ définie en (6.27)

$$E(t, u_0) = \exp\left\{-\frac{D u_0^2}{\hbar^2} \int_0^t dt' e^{2\gamma t'}\right\} = \exp\left\{-\frac{D u_0^2}{\hbar^2} \left(\frac{e^{2\gamma t} - 1}{2\gamma}\right)\right\} \quad (6.38)$$

- D'après (6.28), la solution de l'équation (6.12) correspondant à la valeur initiale $\mathcal{F}_0(u_0)$ s'écrit, compte tenu de (6.35) et (6.38)

$$\mathcal{F}(u, t) = \mathcal{F}_0(u e^{-\gamma t}) \exp\left\{-\frac{D u^2}{\hbar^2} \left(\frac{1 - e^{-2\gamma t}}{2\gamma}\right)\right\} \quad (6.39)$$

b) Discussion physique

Comportement aux temps courts ($\gamma t \ll 1$)

- Pour $\gamma t \ll 1$, on peut remplacer $\mathcal{F}_0(u e^{-\gamma t})$ par $\mathcal{F}_0(u)$ et $(1 - e^{-2\gamma t})/2\gamma$ par $(1 - 1 + 2\gamma t)/2\gamma = t$, de sorte que

$$\mathcal{F}(u, t) = \mathcal{F}_0(u) \exp\left(-\frac{D u^2}{\hbar^2} t\right) \quad (6.40)$$

On retrouve exactement le résultat du cours IV. Comme la friction n'a pas eu encore le temps d'agir ($\gamma t \ll 1$), l'effet de l'interaction avec l'environnement est simplement d'amortir la cohérence spatiale globale à une distance u avec un taux d'amortissement $D u^2/\hbar^2$, proportionnel à u^2 et à D .

- Supposons par exemple que la particule soit initialement dans une superposition linéaire de 2 paquets d'ondes identiques de largeur σ centrés en $x = -a$ et $x = +a$ (formule (5.20)). L'allure de $\mathcal{F}(u)$ est alors donnée par la figure 3a du cours V.

Supposons que a soit suffisamment grand pour que

$$\frac{D a^2}{\hbar^2} t \gg 1 \quad (6.41)$$

t étant par ailleurs suffisamment petit pour que

$$\gamma t \ll 1 \quad \frac{D \sigma^2}{\hbar^2} t \ll 1 \quad (6.42)$$

Pour de tels temps, on a le droit d'utiliser (6.40) puisque $\gamma t \ll 1$. Les 2 structures latérales de la figure 3.2 de V sont complètement amorties par l'exponentielle de (6.40) à cause de (6.41). Par contre la structure centrale est très peu affectée à cause de (6.42). Finalement l'effet de l'interaction avec l'environnement est de faire passer $\mathcal{F}(u)$ de la forme représentée sur la figure 3.2 de V à celle représentée sur la figure 3.b : la superposition linéaire des 2 paquets d'ondes a été transformée en un mélange statistique.

Comportement aux temps longs ($\gamma t \gg 1$)

- On peut alors remplacer $\mathcal{F}_0(u e^{-\gamma t})$ par $\mathcal{F}_0(0) = 1$ et $1 - e^{-2\gamma t}$ par 1, ce qui donne

$$\mathcal{F}(u) = \exp\left(-\frac{D u^2}{2\hbar^2 \gamma}\right) \quad (6.43)$$

$\mathcal{F}(u)$ tend, pour $t \gg 1/\gamma$, vers une distribution d'équilibre gaussienne.

- La transformée de Fourier de $F(u)$, qui n'est autre que la fonction de distribution $P(p)$ de l'impulsion, est donc également une gaussienne. Compte tenu de la formule

$$\int dx e^{-ipx/\hbar} e^{-x^2/a^2} = a\sqrt{\pi} e^{-p^2 a^2/4\hbar^2} \quad (6.44)$$

on a
$$P(p) = \frac{1}{2\pi\hbar} \int du e^{-ipu/\hbar} e^{-Du^2/2\hbar^2\gamma} = \frac{1}{\sqrt{2\pi D/\gamma}} e^{-p^2\gamma/2D} \quad (6.45)$$

- Si l'environnement est en équilibre thermodynamique à la température, on a d'après (6.8), $D = M\gamma k_B T$ et par suite

$$F(u) = e^{-\frac{u^2}{2\lambda_T^2}} \quad P(p) = \frac{1}{\sqrt{2\pi M k_B T}} e^{-\frac{p^2}{2M k_B T}} \quad (6.46)$$

où
$$\lambda_T = \frac{\hbar}{\sqrt{M k_B T}} \quad (6.47)$$

est la longueur d'onde de de Broglie thermique à la température T .

On en déduit que la particule lourde est elle aussi en équilibre à la température T et que la longueur de cohérence spatiale de cette particule est la longueur d'onde de de Broglie λ_T .

Cas général

- Revenons à la formule générale (6.39) et montrons comment on peut construire graphiquement $F(u, t)$ à partir de $F_0(u)$

- Ne tenons pas compte tout d'abord du dernier terme de (6.40), $\exp\{-\gamma t\}$. $F(u, t) = F_0(u e^{-\gamma t})$ s'obtient alors à partir de $F_0(u)$ par une dilatation le long de l'axe u de facteur $e^{\gamma t}$ (puisque la valeur de F en u est égale à la valeur de F_0 au point $u e^{-\gamma t}$ qui se transforme en u après une telle dilatation).

- Sur la fonction ainsi dilatée, l'effet de l'exponentielle de (6.39) est de réduire F par un facteur de réduction qui croît exponentiellement avec u^2

- La 1^{ère} transformation (dilatation) correspond à un allongement des cohérences spatiales dû à la friction qui diminue la dispersion sur p . La seconde transformation (réduction de F en $\exp\{-\gamma t\}$) correspond à la destruction des cohérences spatiales par la diffusion d'impulsion.

④ 2^{ème} Application : solution de l'équation du mouvement de $C(u, v, t)$

- Pour étudier d'autres problèmes, comme l'évolution de la distribution de probabilité de la position, il faut au préalable résoudre l'équation aux dérivées partielles (6.11) qui est du 1^{er} ordre, linéaire, inhomogène, à 3 variables u, v, t

- Courbes caractéristiques : solutions des 2 équations différentielles :

$$\frac{d}{dt} v(t) = 0 \quad \frac{d}{dt} u(t) = \gamma u(t) - \frac{v(t)}{m} \quad (6.48)$$

$$\hookrightarrow v(t) = v_0 \quad u(t) = \left(u_0 - \frac{v_0}{m\gamma}\right) e^{\gamma t} + \frac{v_0}{m\gamma} \quad (6.49)$$

où u_0 et v_0 sont les valeurs de $u(t)$ et $v(t)$ en $t = 0$

- Inversion de (6.49)

$$v_0 = v \quad u_0 = \frac{v}{m\gamma} + \left(u - \frac{v}{m\gamma}\right) e^{-\gamma t} = u e^{-\gamma t} + \frac{v}{m\gamma} (1 - e^{-\gamma t}) \quad (6.50)$$

On en déduit

$$u_0 - \frac{v_0}{M\gamma} = \left(u - \frac{v}{M\gamma}\right) e^{-\gamma t} \quad (6.51) \quad \text{VI-9}$$

- Fonction $b(u, v, t)$ multipliant $C(u, v, t)$ au second membre de (6.11)

$$b(u, v, t) = -\frac{D}{\hbar^2} u^2 \quad (6.52)$$

Le long d'une courbe caractéristique, on a d'après (6.52) et (6.49)

$$\begin{aligned} b(ul(t), v(t), t) &= -\frac{D}{\hbar^2} \left[\left(u_0 - \frac{v_0}{M\gamma}\right) e^{\gamma t} + \frac{v_0}{M\gamma} \right]^2 \\ &= -\frac{D}{\hbar^2} \left[\left(u_0 - \frac{v_0}{M\gamma}\right)^2 e^{2\gamma t} + 2\frac{v_0}{M\gamma} \left(u_0 - \frac{v_0}{M\gamma}\right) e^{\gamma t} + \frac{v_0^2}{M^2\gamma^2} \right] \end{aligned} \quad (6.53)$$

On en déduit pour la fonction $E(t, u_0, v_0)$ définie en (6.31)

$$\begin{aligned} E(t, u_0, v_0) &= \exp \left\{ \int_0^t dt' b(ul(t'), v(t'), t') \right\} = \\ &= \exp \left\{ -\frac{D}{\hbar^2} \left[\left(u_0 - \frac{v_0}{M\gamma}\right)^2 \left(\frac{e^{2\gamma t} - 1}{2\gamma}\right) + 2\frac{v_0}{M\gamma} \left(u_0 - \frac{v_0}{M\gamma}\right) \left(\frac{e^{\gamma t} - 1}{\gamma}\right) + \frac{v_0^2}{M^2\gamma^2} t \right] \right\} \end{aligned} \quad (6.54)$$

- Finalement, d'après (6.32), la solution de (6.11) correspondant à la condition initiale $C_0(u_0, v_0)$ en $t=0$, s'écrit

$$C(u, v, t) = C_0(u_0, v_0) E(t, u_0, v_0) \quad (6.55)$$

où, au 2^{ème} membre de (6.55), u_0 et v_0 sont remplacés par leur expression (6.50) et (6.51) en fonction de u, v, t . On obtient ainsi

$$\begin{aligned} C(u, v, t) &= C_0 \left(u e^{-\gamma t} + \frac{v}{M\gamma} (1 - e^{-\gamma t}), v \right) \times \\ &\times \exp \left\{ -\frac{D}{\hbar^2} \left[\left(u - \frac{v}{M\gamma}\right)^2 \left(\frac{1 - e^{-2\gamma t}}{2\gamma}\right) + 2\frac{v}{M\gamma} \left(u - \frac{v}{M\gamma}\right) \left(\frac{1 - e^{-\gamma t}}{\gamma}\right) + \frac{v^2}{M^2\gamma^2} t \right] \right\} \end{aligned} \quad (6.56)$$

c'est à dire encore

$$C(u, v, t) = C_0 \left(u e^{-\gamma t} + \frac{v}{M\gamma} (1 - e^{-\gamma t}), v \right) \exp \left\{ -\lambda(t) u^2 - 2\mu(t) u v - \nu(t) v^2 \right\} \quad (6.57)$$

$$\text{avec} \quad \lambda(t) = \frac{D}{\hbar^2} \frac{1 - e^{-2\gamma t}}{2\gamma} \quad (6.58.a)$$

$$\mu(t) = \frac{D}{\hbar^2} \frac{1}{M\gamma} \left[\frac{1 - e^{-\gamma t}}{\gamma} - \frac{1 - e^{-2\gamma t}}{2\gamma} \right] \quad (6.58.b)$$

$$\nu(t) = \frac{D}{\hbar^2} \frac{1}{M^2\gamma^2} \left[\frac{1 - e^{-2\gamma t}}{2\gamma} - 2 \frac{1 - e^{-\gamma t}}{\gamma} + t \right] \quad (6.58.c)$$

Le contenu physique de ces résultats sera analysé dans un paragraphe ultérieur.

Référence

La présentation de la méthode des caractéristiques a été mise au point en collaboration avec Jean-Michel Courty à partir du livre:

V. Arnold, chapitres supplémentaires de la théorie des équations différentielles ordinaires, chapitre 2
Editions Mir, Moscou (1980) - Réimpression 1984.